

АЛЕКСЕЙ
БУРИМОВ

АНДРЕЙ
ЕЛИСЕЕВ

Введение в (t, m, s) -сети и алгоритм их генерации

Оглавление

Введение.....	3
Обозначения.....	5
1. (t, m, s) -сети	8
2. Цифровые (t, m, s) -сети над конечными полями.....	16
3. (t, m, s) -сети Нидеррайтера с основанием 2	20
3.1. Алгоритм генерации	20
3.2. Пример работы алгоритма	25
3.3. Оптимизация алгоритма генерации	32
Список литературы	38

Введение

Конец XX века открыл человечеству двери в цифровую эпоху. Компьютеры проникли во все сферы жизни, их быстрота и многозадачность подкупили своим удобством, а постоянно растущие вычислительные мощности дали новые перспективы развития численных методов – специального раздела математики, рассматривающего вопросы нахождения приближённых ответов на самые разнообразные математические задачи. На практике часто встречаются случаи, в которых аналитическое решение либо невозможно, либо крайне трудоёмко, поэтому, когда стоит задача относительно быстро найти примерный ответ, численные методы со своим внушительным инструментарием вкупе с быстрыми современными вычислителями становятся настоящими спасателями инженеров, физиков, архитекторов и многих других специалистов. Одной из компонент этого инструментария и являются (t, m, s) -сети, о которых пойдёт речь далее.

Первое точное определение (t, m, s) -сетей было дано австрийским алгебраистом Гаральдом Нидеррайтером в 1987 году и являлось логическим продолжением и обобщением результатов, полученных в начале и середине XX века Ильёй Соболев, Йоханнесом ван дер Корпутом, Анри Фором и другими именитыми математиками [1, 2, 4, 7]. Главной мотивацией для изучения (t, m, s) -сетей послужила их непревзойдённая эффективность при решении, в первую очередь, задач многомерного численного интегрирования методом квази-Монте-Карло, однако сегодня их так же успешно применяют и при решении многих других вопросов [11, 13].

Целью данной брошюры является наиболее краткое, полное и, вместе с тем, максимально понятное изложение материала, разделённого структурно на три отдельных главы. В первой главе даны основы теории о (t, m, s) -сетях: наиболее важные термины, определения и базовые свойства. Во второй главе разбирается понятие цифровых (t, m, s) -сетей – самого популярного класса

сетей при вычислениях на компьютере. Третья глава целиком посвящена двум алгоритмам генерации цифровых (t, m, s) -сетей с основанием 2.

Стоит отдельно и заранее отметить, что в настоящем тексте применяется авторская номенклатура, зачастую отличная от оригинальной. Такое обыкновенно непопулярное решение было принято исключительно для того, чтобы сделать обозначения используемых в работе математических объектов как можно более интуитивно понятными. Полная характеристика введённой нотации представлена в разделе «Обозначения», который рекомендован к тщательному ознакомлению перед началом чтения основной части документа. Вводимые в тексте нотацию авторы также использовали при создании программной реализации генератора (t, m, s) -сетей Нидеррайтера с основанием 2, расположенной по адресу

<https://github.com/jointpoints/tms-nets>

и находящейся в свободном доступе. Техническую документацию к программе можно найти по той же ссылке.

Обозначения

В основе используемой в данном тексте номенклатуры лежит следующий главный принцип:

- латинские буквы используются исключительно для обозначения объектов, связанных с числами;
- греческие буквы используются исключительно для обозначения объектов, связанных с конечными полями.

Под объектами, связанными с числами, понимаются непосредственно числа, векторы и матрицы, состоящие чисел, а также функции, возвращающие числа или числовые векторы и матрицы. Объекты, связанные с конечными полями, определяются аналогично.

Все итерируемые сущности, то есть такие сущности, компоненты которых можно пронумеровать, индексируются, начиная с нуля, а не с единицы, как это диктуется математической традицией. Единственным исключением из этого правила являются оси пространства, в котором происходит непосредственное построение (t, m, s) -сети, – они нумеруются с единицы. Так же нумеруются и координаты векторов, лежащих в этом пространстве, или индексы иных объектов, напрямую привязанных к данным осям. Сами такие номера вдобавок указываются особенным образом – справа от имени соответствующего объекта в квадратных скобках. Номера координат остальных векторов, а также индексы элементов матриц указываются справа от их имён подстрочным шрифтом. Например:

- i -я координата вектора $x \in \mathcal{B}$ обозначается как $x[i] \in \mathcal{B}$, если \mathcal{B} – это пространство, в котором строится сеть. Здесь $i \in \{1, 2, \dots, \dim \mathcal{B}\}$;
- i -я координата вектора $x \in \mathcal{B}$ обозначается подстрочным шрифтом как $x_i \in \mathcal{B}$, если \mathcal{B} это не пространство, в котором строится сеть. Здесь $i \in \{0, 1, \dots, \dim \mathcal{B} - 1\}$.

Помимо указанных выше обозначений, в дальнейшем тексте применяются следующие:

- \mathbb{Z} – множество всех целых чисел.
- $\mathbb{Z}_{\geq a}$ – множество всех целых чисел, больших либо равных a .
- $\mathbb{N} = \mathbb{Z}_{\geq 1}$ – множество всех *натуральных чисел*.
- $\mathbb{N}_0 = \mathbb{Z}_{\geq 0}$ – множество *натуральных чисел с нулём*.
- $I = [0; 1)$ – единичный полуинтервал с открытой правой границей.
- $[a..b]$, где $a, b \in \mathbb{Z}, a \leq b$ – *целочисленный отрезок*, множество всех целых чисел c таких, что $a \leq c \leq b$. На основании данного обозначения также используются альтернативные обозначения для отрезков:
 - $[a..b) = [a..b - 1]$,
 - $(a..b] = [a + 1..b]$,
 - $(a..b) = [a + 1..b - 1]$.
- $(n)_b$, где $n \in \mathbb{N}_0$ – представление числа n в позиционной системе счисления с основанием $b \in \mathbb{Z}_{\geq 2}$.
- $(n)_{b,k}$, где $n \in \mathbb{N}_0$ и $k \in \mathbb{N}_0$ – k -й разряд числа n в позиционной системе счисления с основанием b .
- $\text{div}(a, b)$, $\text{mod}(a, b)$, где $a \in \mathbb{N}_0$, $b \in \mathbb{N}$ – операции целочисленного деления a на b и взятия остатка от деления a на b , соответственно.
- $\oplus: \mathbb{N}_0 \times \mathbb{N}_0 \rightarrow \mathbb{N}_0$ – оператор *исключающей дизъюнкции* такой, что

$$a \oplus b = c \iff (a)_{2,k} \oplus (b)_{2,k} = (c)_{2,k} \quad \forall k \in \mathbb{N}_0$$
- Под *последовательностью* элементов множества \mathcal{A} будет пониматься функция из \mathbb{N}_0 в \mathcal{A} .
- Под *мультимножеством точек*, принадлежащих \mathcal{A} , будет пониматься функция из \mathcal{A} в \mathbb{N} , сопоставляющая каждой точке из \mathcal{A} количество её включений в *мультимножество точек*.
- Векторные величины, обозначаемые строчными буквами, выделяются полужирным начертанием. Например:

- $\mathbf{x} \in \mathcal{I}^s$ – вектор, каждая координата которого принадлежит \mathcal{I} ,
- $\boldsymbol{\xi} \in \mathbb{F}_2^m$ – вектор, каждая координата которого принадлежит \mathbb{F}_2 .

Как синоним слова *вектор*, мы также будем использовать слово *точка*.

Любой вектор в тексте рассматривается, как вектор-столбец.

- Матрицы обозначаются заглавными буквами с обычным начертанием.

Например:

- $\Gamma \in \mathbb{F}_2^{m \times n}$ – матрица из m строк и n столбцов, каждый элемент которой принадлежит \mathbb{F}_2 .
- Γ^k, Γ_j – k -й столбец и j -я строка матрицы Γ , соответственно.

1. (t, m, s) -сети

Суть численного метода Монте-Карло можно вкратце изложить следующим образом. Пусть есть интегрируемая функция f , зависящая от s независимых переменных. Тогда определённый интеграл f по некоторой ограниченной области $B \subset \mathbb{R}^s$ можно приближённо найти, заполнив B равномерно распределёнными по ней точками x_n и рассчитав среднее арифметическое значений $f(x_n)$. Интуитивно понятно, что чем большим числом точек заполняется данная область, тем ближе расчётное приближение к истинному ответу, однако существует значительно более экономный метод достижения высокой точности. Этот метод, получивший название «квази-Монте-Карло», состоит в наложении на точки x_n дополнительных ограничений, которым, в частности, удовлетворяют (t, m, s) -сети.

Фундаментальная теория (t, m, s) -сетей рассматривается при $B = \mathcal{I}^s$, однако с помощью аффинных преобразований легко обобщается на любые кубоиды в \mathbb{R}^s , что позволяет применять её к обширному кругу практических задач. Существуют и более сложные случаи, где в качестве B принимаются сферы, шары или симплексы, которые рассмотрены, например, в [9, 10].

Основой понятия (t, m, s) -сети является элементарный интервал.

ОПРЕДЕЛЕНИЕ 1.1

Пусть $b \in \mathbb{Z}_{\geq 2}$, $s \in \mathbb{N}$, а также $\mathbf{d} \in \mathbb{N}_0^s$, $\mathbf{a} \in \mathbb{N}_0^s$ и $a[i] < b^{d[i]}$ для всех $i \in [1..s]$. Тогда *элементарным интервалом с основанием b* называется множество

$$\mathcal{E} = E(b, \mathbf{a}, \mathbf{d}) = \bigtimes_{i=1}^s \left[\frac{a[i]}{b^{d[i]}}, \frac{a[i] + 1}{b^{d[i]}} \right) \subset \mathcal{I}^s.$$

Из этого определения можно понять, что элементарный интервал представляет собой прямоугольный параллелепипед в s -мерном пространстве, для которого верны следующие свойства:

1. его длина в смысле Лебега вдоль каждой i -й компоненты равна $\frac{1}{b^{d[i]}}$;
2. любые два различных элементарных интервала с равными параметрами b и d не имеют общих точек;
3. объединение всех существующих элементарных интервалов с равными параметрами b и d совпадает с J^s .

Из свойств 2 и 3 непосредственно следует, что все существующие элементарные интервалы с равными параметрами b и d образуют *разбиение* J^s на «клеточки» — непересекающиеся кубоидные области одинаковой формы, что показано на рисунке 1.1(б).

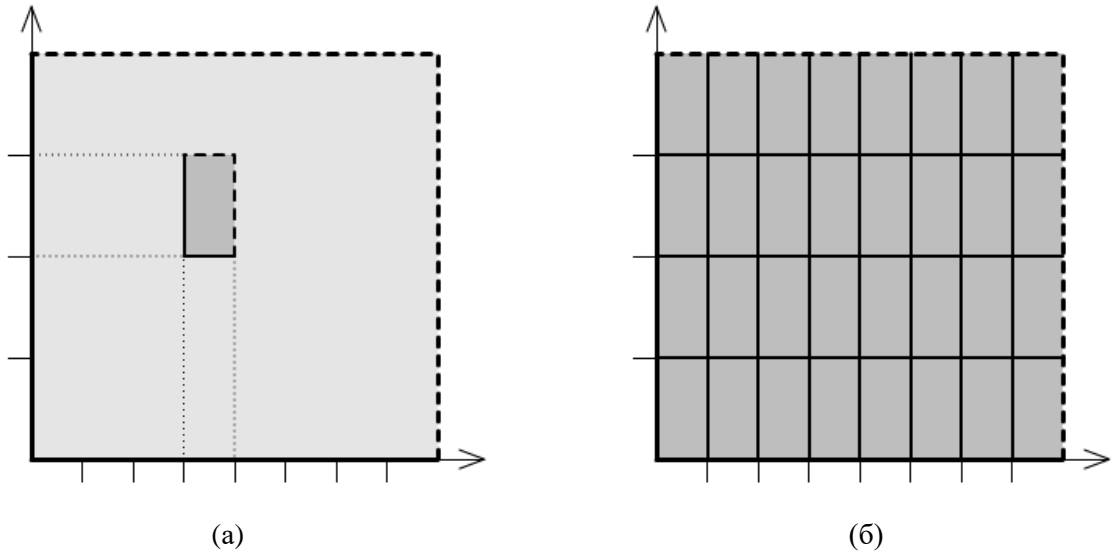


Рисунок 1.1. (а) Двумерный элементарный интервал с основанием 2 и параметрами $a = d = (3, 2)$, расположенный внутри J^2 ; (б) J^2 , разбитый на части элементарными интервалами с основанием 2 и фиксированным параметром $d = (3, 2)$.

Зная свойство 1, не составит труда также определить s -мерный *объём* элементарного интервала \mathcal{E} в смысле Лебега:

$$V(\mathcal{E}) = \prod_{i=1}^s \frac{1}{b^{d[i]}} = \prod_{i=1}^s b^{-d[i]} = b^{-d[1]-d[2]-\dots-d[s]} = b^{-\sum_{i=1}^s d[i]}. \quad (1.1)$$

Заметим, что $V(\mathcal{E})$ зависит от параметров интервала b и d , но не зависит от параметра a , следовательно, в каждом упомянутом только что разбиении \mathcal{I}^s все элементарные интервалы имеют одинаковый объём.

Зная всё вышеописанное, перейдём к рассмотрению главного объекта в данной теме, а именно (t, m, s) -сети.

ОПРЕДЕЛЕНИЕ 1.2

Пусть $t \in \mathbb{N}_0$, $m \in \mathbb{N}_0$, $s \in \mathbb{N}$, $b \in \mathbb{Z}_{\geq 2}$ причём $t \leq m$. Тогда мультимножество точек $\mathcal{P} \subset \mathcal{I}^s$ является (t, m, s) -сетью с основанием b , если в любом элементарном интервале \mathcal{E} объёма $V(\mathcal{E}) = b^{t-m}$ содержится ровно b^t точек из \mathcal{P} (включая повторы).

Сразу отметим несколько важных свойств (t, m, s) -сетей:

1. каждая (t, m, s) -сеть состоит ровно из b^m точек (включая повторы);
2. каждая (t, m, s) -сеть является (u, m, s) -сетью с тем же основанием, если $t < u \leq m$ (истинность первых двух утверждений легко доказать, воспользовавшись определением $V(\mathcal{E})$, а также свойствами 2 и 3 элементарных интервалов с предыдущей страницы);
3. каждая (t, m, s) -сеть обладает свойством *однородности* (low discrepancy).

Однородность, говоря простым языком, гарантирует то, что между элементами множества (или мультимножества) нет «больших пустот», что, в свою очередь, и обуславливает быструю сходимость метода квази-Монте-Карло. В случае (t, m, s) -сетей данное поведение достигается за счёт равенства числа точек в каждом элементарном интервале фиксированного объёма. Нидеррайтер, Пилихсхэммер и другие учёные вводили специальные функции, с помощью которых можно определить «уровень однородности» для каждого конкретного набора точек. Такие функции, называемые *нормами неравномерности* (discrepancies) обладают, в первую очередь, важным теоретическим значением. Так, например, именно благодаря им было

установлено, что меньшие значения параметра t соответствуют более однородным сетям (чем меньше t , тем «качественнее» точки рассредоточены по \mathcal{I}^s). На интуитивном уровне в этом можно убедиться самостоятельно, рассмотрев определение (t, m, s) -сети и зафиксировав в нём все значения, кроме t . За более подробной информацией на тему популярных норм неравномерности D , D^* , L_p и L_p^* можно обратиться, например, в [11].

Ниже, на рисунке 1.2, показано несколько примеров $(t, m, 2)$ -сетей с разными параметрами t , m и b .

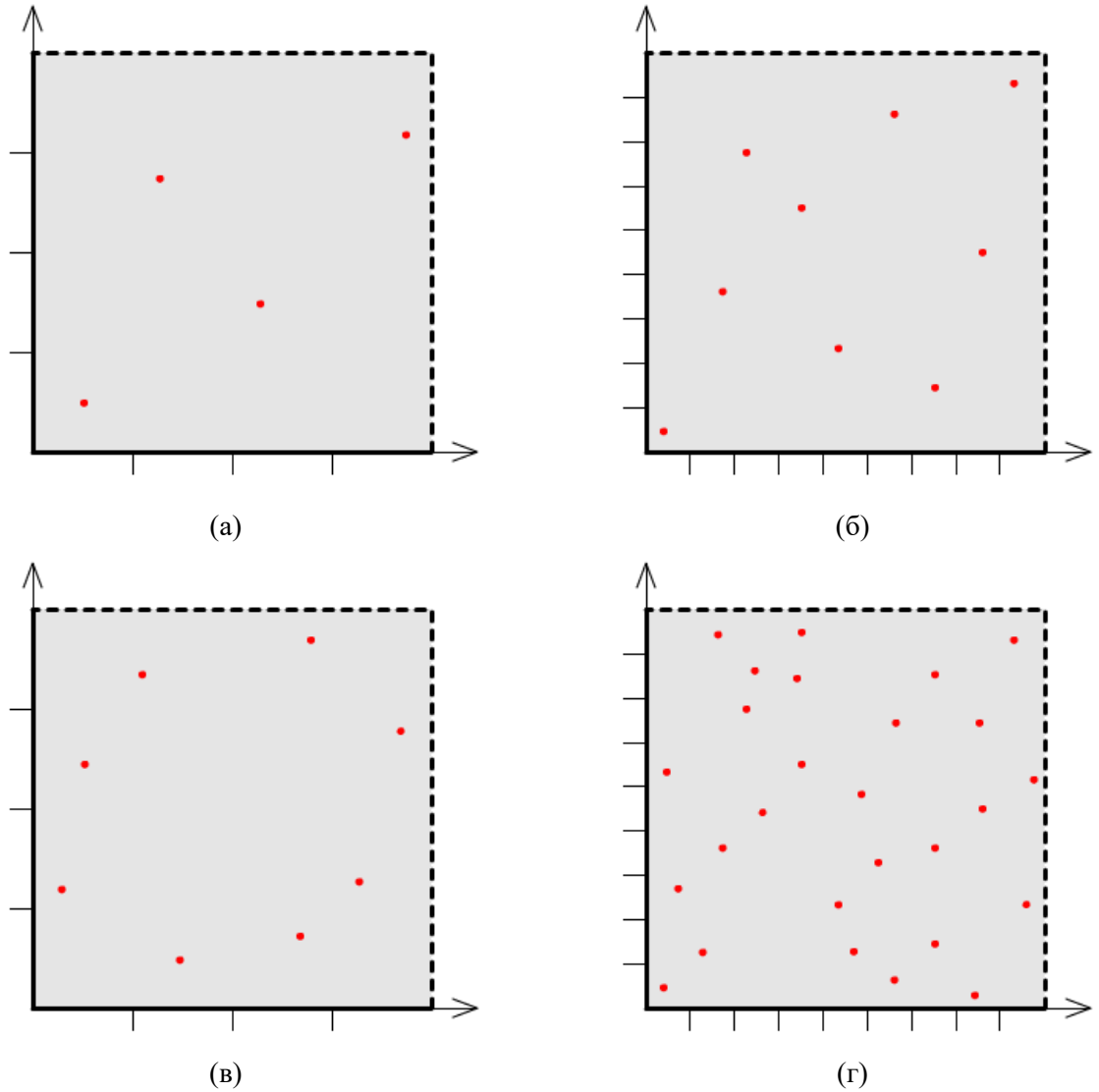


Рисунок 1.2. Примеры $(t, m, 2)$ -сетей в двумерном кубе \mathcal{I}^2 с разными параметрами:

- | | |
|-----------------------|-----------------------|
| (а) $(0,2,2), b = 2,$ | (б) $(0,2,2), b = 3,$ |
| (в) $(1,3,2), b = 2,$ | (г) $(1,3,2), b = 3.$ |

Для наглядности покажем, что множество \mathcal{P} , изображённое красными точками, например, на рисунке 1.2(в), действительно является $(1,3,2)$ -сетью с основанием 2. Здесь даны параметры:

$$t = 1 \quad m = 3 \quad s = 2 \quad b = 2.$$

По определению, чтобы множество \mathcal{P} было (t, m, s) -сетью, необходимо, чтобы в каждом элементарном интервале объёма b^{t-m} содержалось ровно b^t точек множества \mathcal{P} . Подставим указанные выше числовые значения в определение (t, m, s) -сети. Получим, что для рассматриваемого частного случая каждый элементарный интервал объёма $2^{1-3} = 2^{-2} = 1/4$ должен содержать ровно $2^1 = 2$ точки.

Рассмотрим все существующие элементарные интервалы объёма $1/4$ и проверим, что для них указанные ограничения выполняются. Вспомним, что каждый элементарный интервал однозначно определяется тремя параметрами: b , \mathbf{d} и \mathbf{a} . Параметр b уже известен: $b = 2$, следовательно, остаётся определить все \mathbf{d} и \mathbf{a} такие, что $V(E(2, \mathbf{a}, \mathbf{d})) = 1/4$. Вспомним также, что объём элементарного интервала зависит только от параметров b и \mathbf{d} . Подставляя известное b в формулу (1.1) (стр. 9), нетрудно видеть, что выражение $V(\mathcal{E}) = 1/4$ эквивалентно выражению $\sum_{i=1}^2 d[i] = 2$. Отсюда получаем три возможных значения для параметра \mathbf{d} :

$$\mathbf{d} = [0, 2]^T,$$

$$\mathbf{d} = [1, 1]^T,$$

$$\mathbf{d} = [2, 0]^T.$$

Чтобы избежать явного нахождения всех допустимых \mathbf{a} для каждого из трёх случаев и рассмотрения каждого элементарного интервала по отдельности, воспользуемся тем, что все элементарные интервалы с равными параметрами b и \mathbf{d} образуют разбиение \mathcal{I}^s .

На рисунке 1.3 показаны разбиения двумерного куба \mathcal{I}^2 элементарными интервалами с фиксированными параметрами $b = 2$ и \mathbf{d} .

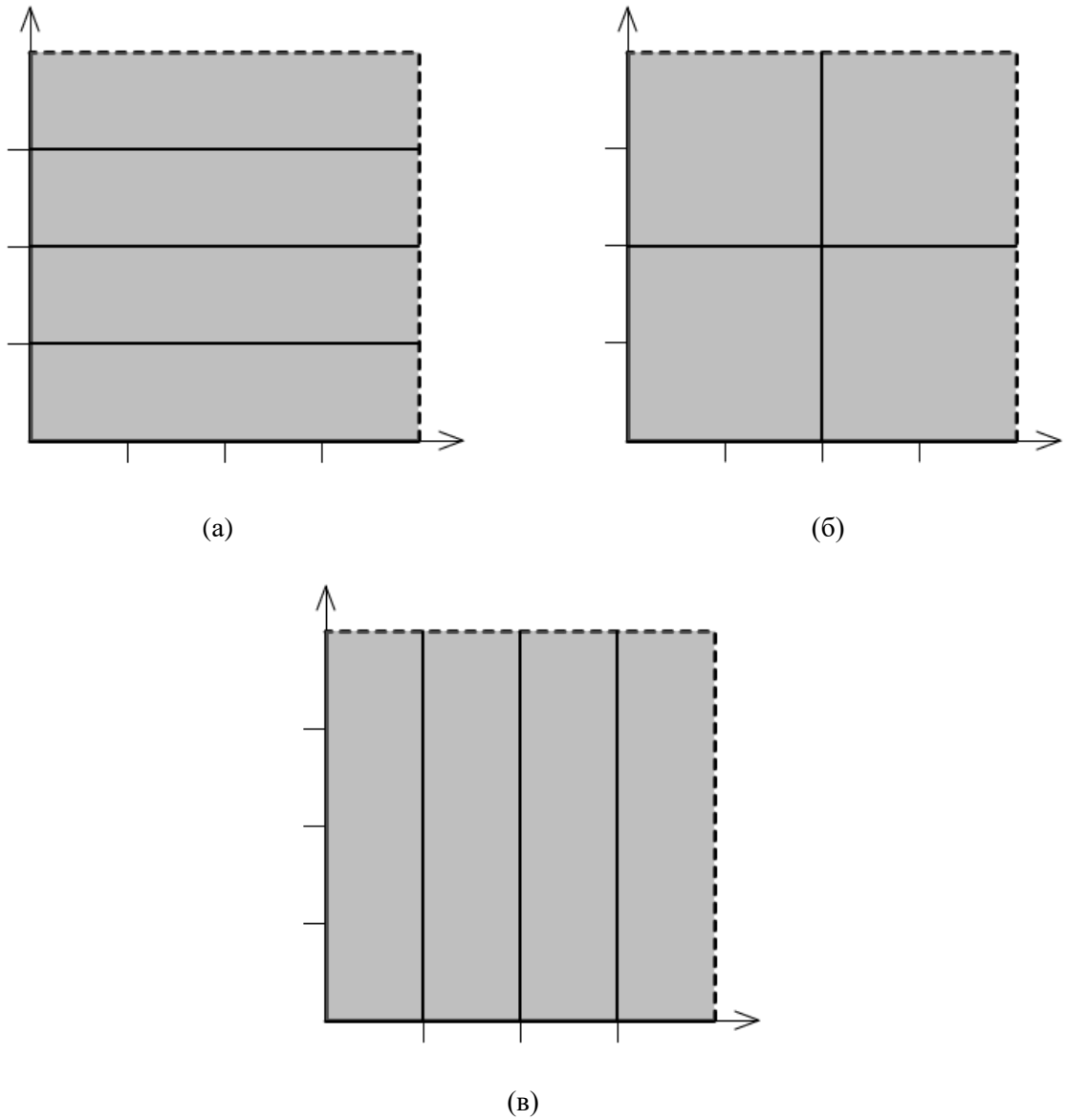


Рисунок 1.3. Разбиения двумерного куба \mathcal{J}^2 элементарными интервалами объема $1/4$ с фиксированными параметрами $b = 2$ и \mathbf{d} , где
 (а) $\mathbf{d} = [0, 2]^T$, (б) $\mathbf{d} = [1, 1]^T$, (в) $\mathbf{d} = [2, 0]^T$.

Наложим точки множества \mathcal{P} на полученные разбиения. Результат представлен на рисунке 1.4.

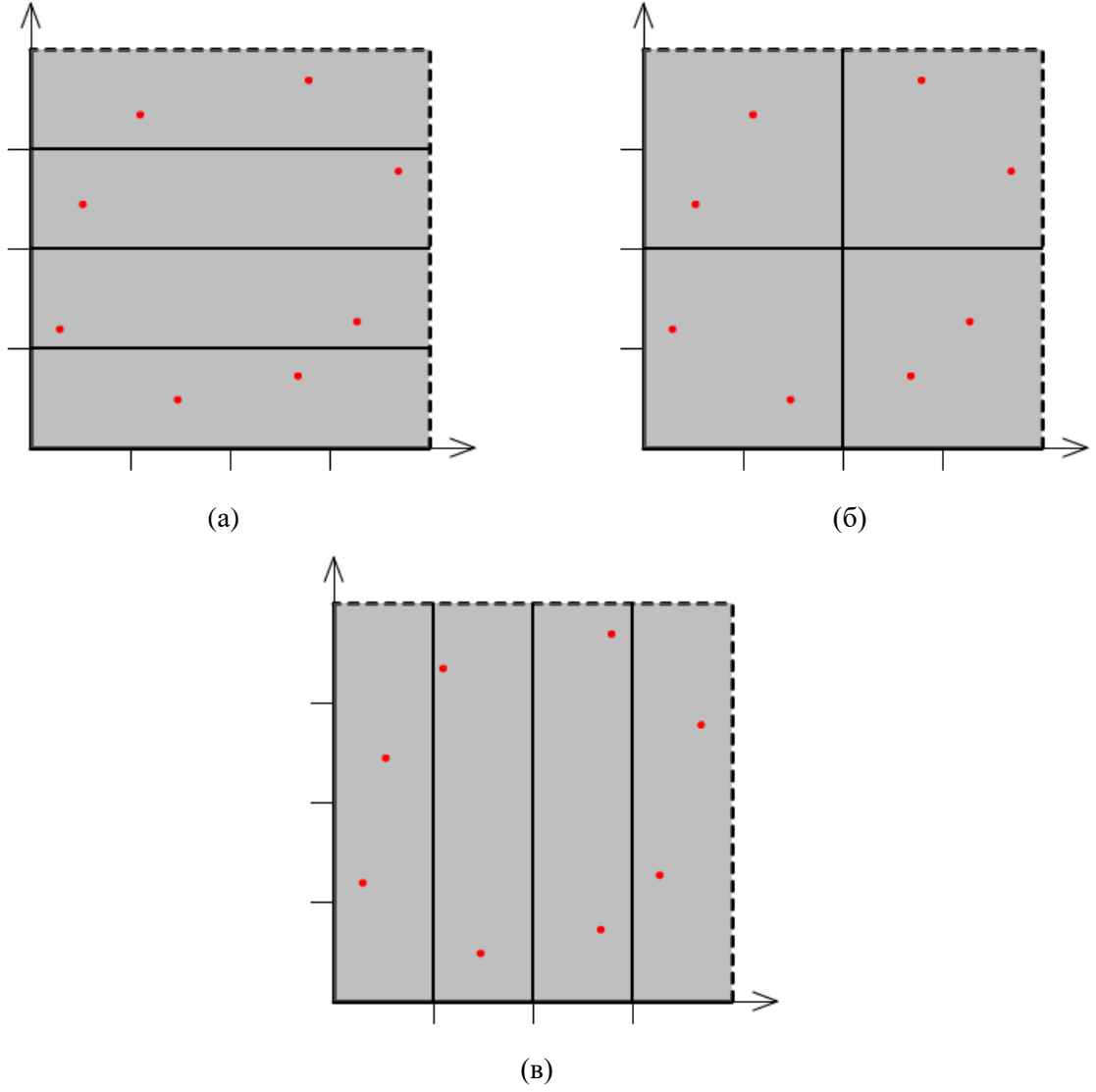


Рисунок 1.4. Множество \mathcal{P} и разбиения двумерного куба \mathcal{I}^2 элементарными интервалами объёма $1/4$ с фиксированными параметрами $b = 2$ и \mathbf{d} , где
 (а) $\mathbf{d} = [0, 2]^T$, (б) $\mathbf{d} = [1, 1]^T$, (в) $\mathbf{d} = [2, 0]^T$.

Как видно, во всех элементарных интервалах оказалось ровно две точки, следовательно, множество \mathcal{P} – $(1,3,2)$ -сеть с основанием 2 по определению.

Отметим, что согласно свойству 2 (t, m, s) -сетей (стр. 10), множество \mathcal{P} с таким же успехом будет и $(2,3,2)$ -сетью, и $(3,3,2)$ -сетью, но оно, однако, не будет $(0,3,2)$ -сетью, в чём можно убедиться, проведя аналогичную проверку для $t = 0$. Зная о наличии обратной зависимости между значением t и уровнем однородности (t, m, s) -сети, можно заключить, что

параметр $t = 1$ «наилучшим» образом среди всех $t \leq m$ (то есть среди всех $t \leq 3$) описывает однородность данной сети.

ОПРЕДЕЛЕНИЕ 1.3

Наименьшее $t \in \mathbb{N}_0$, при котором данное мультимножество \mathcal{P} является (t, m, s) -сетью с некоторым основанием, называется *дефектом* этой сети.

Таким образом, $t = 1$ является дефектом сети \mathcal{P} из только что разобранного случая. Выполнив несколько проверок определения для каждого примера из рисунка 1.2 (стр. 11), можно увидеть, что все обозначенные в нём значения t на самом деле будут и дефектами для соответствующих сетей.

2. Цифровые (t, m, s) -сети над конечными полями

Обратим внимание на тот факт, что до сих пор не было никаких правил, которые обязывали бы элементы (t, m, s) -сетей иметь какую-либо аналитическую взаимосвязь друг с другом. Так, например, обратившись ещё раз к рисунку 1.2 (стр. 11), можно заметить, что точки во всех приведённых примерах расположены достаточно хаотично – при подготовке иллюстраций их расположение подбиралось «на глаз». Точно так же можно было сгенерировать некоторое множество случайных или псевдослучайных s -мерных точек и небезосновательно ожидать, что с какой-то ненулевой вероятностью это множество окажется (t, m, s) -сетью для каких-нибудь t , m и b .

Очевидно, что подходы «на глаз» и «с какой-то ненулевой вероятностью» далеко не самые привлекательные, когда речь заходит о решении конкретных прикладных задач. К счастью, для (t, m, s) -сетей уже были разработаны способы их детерминированной генерации, в частности, при помощи рассмотрения особого класса сетей, характеризующегося наличием функциональных выражений координат для каждой точки. Такие сети называются *цифровыми (t, m, s) -сетями*, и их определение основывается на теории колец. Расчёт точек цифровых сетей по большей части производится над кольцами, мощность которых совпадает с величиной основания (t, m, s) -сети. На практике производить вычисления над кольцами общего вида не удобно, ввиду чего обычно используется частный подкласс цифровых сетей, основные расчёты точек которых производятся в конечных полях. Сети из этого подкласса называются *цифровыми (t, m, s) -сетями над конечными полями*, и в дальнейшем мы будем описывать именно их. Подробное описание цифровых сетей в общем виде можно найти в [8].

Прежде чем перейти к строгому определению, опишем некоторые общие идеи и замечания:

- Точки любой цифровой (t, m, s) -сети с основанием b полагаются пронумерованными, то есть каждой точке такой сети однозначно сопоставлен номер $n \in [0 \dots b^m]$. Таким образом, мультимножество точек \mathcal{P} , являющееся сетью, имеет вид $\{\mathbf{x}_n\}_{n \in [0 \dots b^m]}$, где $\mathbf{x}_n \in \mathcal{I}^s$;

- Основание цифровой сети над конечным полем может равняться только степени простого числа. Это обусловлено аналогичным свойством порядка конечных полей;

- Любое $n \in [0 \dots b^m]$ однозначно представимо в b -ичной системе счисления. Следовательно, любому n можно сопоставить упорядоченный набор разрядов из его выражения в определённой системе счисления.

Исходя из последнего замечания, введём два вспомогательных понятия.

ОПРЕДЕЛЕНИЕ 2.1

а. *m -разрядной векторизацией числа по основанию b* называется отображение, ставящее числу $n \in \mathbb{N}_0$ в соответствие m -мерный вектор, k -я координата которого равна k -му разряду в разложении n по основанию b :

$$\mathbf{vec}_{b,m}(n) = [(n)_{b,0}, (n)_{b,1}, (n)_{b,2}, \dots, (n)_{b,m-1}]^T \in [0 \dots b]^m;$$

б. *Реверсивной нумеризацией вектора $\mathbf{v} \in [0 \dots b]^m$ по основанию b* называется операция построения целого числа $n \in [0 \dots b^m]$ такого, что в разложении в b -ичной системе счисления k -й разряд $(n)_{b,k}$ равен $(m - k - 1)$ -й координате v_k , а разряды большие m полагаются равными нулю:

$$\text{rnum}_b(\mathbf{v}) = \sum_{k=0}^{m-1} v_{m-k-1} \cdot b^k \in [0 \dots b^m].$$

Например, $32 = (1012)_3$ и $64 = (2101)_3$, следовательно, $\mathbf{vec}_{3,4}(32) = [2, 1, 0, 1]^T$, $\mathbf{vec}_{3,6}(32) = [2, 1, 0, 1, 0, 0]^T$, $\mathbf{vec}_{3,2}(32) = [2, 1]^T$, а $\text{rnum}_3([2, 1, 0, 1]^T) = 64$.

Наконец, сформулируем определяющий критерий цифровой (t, m, s) -сети над конечным полем \mathbb{F}_b .

ОПРЕДЕЛЕНИЕ 2.2

(t, m, s) -сеть с основанием b равным степени простого числа является *цифровой (t, m, s) -сетью над конечным полем \mathbb{F}_b* , если существуют

1. Биекции

$$\phi : [0 \dots b) \leftrightarrow \mathbb{F}_b,$$

$$f : \mathbb{F}_b \leftrightarrow [0 \dots b),$$

порождающие функции

$$\boldsymbol{\phi} : [0 \dots b)^m \leftrightarrow \mathbb{F}_b^m,$$

$$\boldsymbol{f} : \mathbb{F}_b^m \leftrightarrow [0 \dots b)^m$$

следующим образом:

$$\boldsymbol{\phi}(\boldsymbol{v}) = [\phi(v_0), \phi(v_1), \dots, \phi(v_{m-1})]^T,$$

$$\boldsymbol{f}(\boldsymbol{\xi}) = [f(\xi_0), f(\xi_1), \dots, f(\xi_{m-1})]^T;$$

2. Матрицы $\Gamma[i] \in \mathbb{F}_b^{m \times m}$, где $i \in [1 \dots s]$, называемые *генерирующими*, такие, что любая координата произвольной точки сети с номером n может быть задана выражением:

$$x_n[i] = \text{num}_b \left(\boldsymbol{f} \left(\Gamma[i] \cdot \boldsymbol{\phi} \left(\text{vec}_{b,m}(n) \right) \right) \right) \cdot b^{-m}.$$

Несмотря на частность данного определения относительно общего понятия (t, m, s) -сети, оно всё равно может показаться довольно громоздким. Однако главное, что следует извлечь из него, – это общие представления о ранее не раскрывавшейся математической основе, позволяющей строить (t, m, s) -сети.

На практике при программировании различных алгоритмов построения сетей как правило рассматриваются ещё более частные виды (t, m, s) -сетей, а именно цифровые (t, m, s) -сети над *простыми* конечными полями \mathbb{F}_b , то есть над полями с простым основанием b . Такие сети

замечательны тем, что конечные поля, ассоциированные с ними, по построению являются множествами целых чисел $[0..b) = \{0, 1, 2, \dots, b-1\}$, арифметические операции сложения и умножения над которыми производятся по модулю b . Данное обстоятельство серьёзно упрощает задачу тем, что требуемыми в определении цифровой (t, m, s) -сети (стр. 18, 2.2) биекциями ϕ и f становится допустимо пренебречь, так как они, по сути, оказываются перестановками целых чисел от 0 до $b-1$:

$$\begin{aligned}\phi : [0..b) &\leftrightarrow \mathbb{F}_b &\Leftrightarrow &\phi : [0..b) \leftrightarrow [0..b), \\ f : \mathbb{F}_b &\leftrightarrow [0..b) &\Leftrightarrow &f : [0..b) \leftrightarrow [0..b),\end{aligned}$$

которые, в свою очередь, для удобства можно принять тривиальными:

$$\begin{aligned}\phi(v_k) &= v_k, \\ f(\xi_k) &= \xi_k.\end{aligned}$$

Таким образом, для задания сетей над простыми конечными полями достаточно определить генерирующие матрицы $\Gamma[i] \in \mathbb{F}_b^{m \times m}$, $i \in [1..s]$, с помощью которых любая координата точки сети с номером $n \in [0..b^m)$ выражалась бы упрощённой формулой:

$$x_n[i] = \text{rnum}_b \left(\Gamma[i] \cdot \mathbf{vec}_{b,m}(n) \right) \cdot b^{-m}. \quad (2.1)$$

Отсюда, описания разнообразных способов построения сетей сводятся к описанию разнообразных способов построения соответствующих генерирующих матриц.

Нидеррайтер в статье [5] представил один из таких способов, который мы далее рассмотрим в частном случае для $b = 2$. Ввиду этого договоримся, что в дальнейшем под цифровой (t, m, s) -сетью будет пониматься цифровая (t, m, s) -сеть над полем $\mathbb{F}_2 = (\{0, 1\} \subset \mathbb{Z}, \oplus, \cdot)$.

3. (t, m, s)-сети Нидеррайтера с основанием 2

3.1. Алгоритм генерации

Алгоритм построения генерирующих матриц, предложенный Нидеррайтером, основывается на нетривиальной математической теории, связанной с алгеброй многочленов, линейными рекуррентными последовательностями и формальными рядами Лорана над конечными полями. Для полного понимания алгоритма необходимо ознакомиться с теорией, которую можно найти в [5, 6]. Мы же, ставя целью настоящего документа строгое объяснение минимальное по объёму и максимальное по доступности, сосредоточимся на описании алгоритма и необходимого теоретического минимума.

Напомним некоторые определения из алгебры, которые будут использоваться в дальнейшем.

ОПРЕДЕЛЕНИЕ 3.1

Последовательность $\{\alpha_0, \alpha_1, \alpha_2, \dots\}$ над конечным полем \mathbb{F}_b называется *линейной рекуррентной последовательностью порядка k* , если существуют k элементов $\mu_l \in \mathbb{F}_b$, $l \in [0 \dots k)$ таких, что для $n \in \mathbb{Z}_{\geq k}$ выполняется *линейное рекуррентное соотношение*:

$$\alpha_n = \mu_{k-1}\alpha_{n-1} + \mu_{k-2}\alpha_{n-2} + \dots + \mu_1\alpha_{n-k+1} + \mu_0\alpha_{n-k}.$$

Исходя из данного определения, установим, что для задания линейной рекуррентной последовательности порядка k помимо линейного рекуррентного соотношения необходимо задать первые k элементов α_n , где $n \in [0 \dots k)$, которые называются *инициализирующими* (или *начальными*) элементами последовательности $\{\alpha_n\}$.

Введём также важнейшее понятие, непосредственно связанное с линейными рекуррентными соотношениями.

ОПРЕДЕЛЕНИЕ 3.2

Характеристическим многочленом линейной рекуррентной последовательности $\{\alpha_n\}$ порядка k над полем \mathbb{F}_b называется такой $\mu(\omega) \in \mathbb{F}_b[\omega]$, что

$$\mu(\omega) = \omega^k - \mu_{k-1}\omega^{k-1} - \mu_{k-2}\omega^{k-2} - \dots - \mu_1\omega - \mu_0,$$

и коэффициенты $\mu_l \in \mathbb{F}_b$, $l \in [0..k)$ которого задают линейное рекуррентное соотношение последовательности:

$$\alpha_n = \mu_{k-1}\alpha_{n-1} + \mu_{k-2}\alpha_{n-2} + \dots + \mu_1\alpha_{n-k+1} + \mu_0\alpha_{n-k}, \quad n \in \mathbb{Z}_{\geq k}.$$

Таким образом, линейная рекуррентная последовательность вполне задаётся набором инициализирующих значений и характеристическим многочленом, порождающим линейное рекуррентное соотношение.

Перейдём непосредственно к алгоритму. Пусть известны $t, m \in \mathbb{N}_0$ и $s \in \mathbb{N}$. Тогда для каждой i -й размерности необходимо выбрать неприводимый над \mathbb{F}_2 многочлен $\pi[i]$ так, чтобы все многочлены $\pi[1], \dots, \pi[s]$ были различны, а их степени $e[i] := \deg \pi[i]$ удовлетворяли условию $t = \sum_{i=1}^s (e[i] - 1) \leq m$. Если такие многочлены выбрать не удалось, это означает, что построить (t, m, s) -сеть с заданными параметрами t , m и s по данному алгоритму невозможно, и на этом его действие заканчивается. На практике обычно оказывается удобнее задавать только часть параметров, а потом, исходя из известных ограничений, выражать оставшиеся.

В случае подходящих под ограничение параметров t , m и s , начинает выполняться основная часть алгоритма, определяющая создание генерирующих матриц $\Gamma[i]$. Так как оно происходит аналогично для любой размерности, мы условимся для лучшей читаемости опускать в нашем описании индекс $[i]$.

Положим $\pi := \pi[i]$, $e := \deg \pi$. Тогда разделим построчно матрицу $\Gamma := \Gamma[i] \in \mathbb{F}_2^{m \times m}$, начиная с нулевой строки, на *секции* так, что

- к первой секции относятся строки с номерами $[0..e)$,

- ко второй – с номерами $[e \dots 2e)$,
- и так далее вплоть до последней секции, которой будут отвечать строки с номерами $[a \cdot e \dots m)$, где $a \in \mathbb{N}$.

Для наглядности проиллюстрируем такое разделение на примере матрицы размера 8×8 ($m = 8$), для которой $e = 3$.

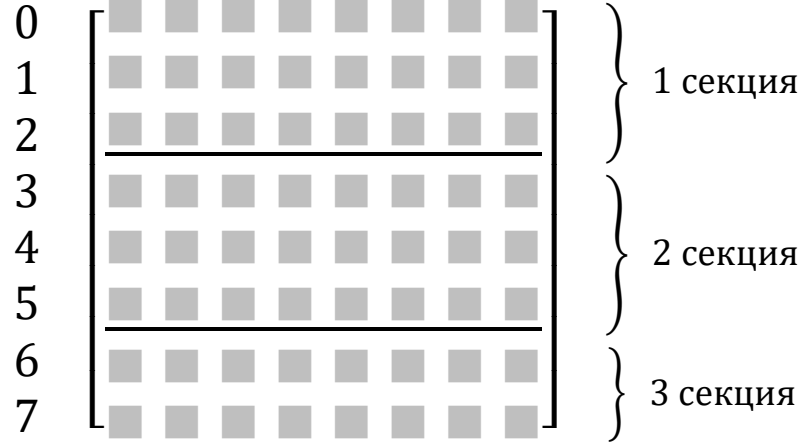


Рисунок 3.1.1. Пример разделения матрицы 8×8 на секции при $e = 3$.

Каждой u -й секции, где $u \in [1 \dots \text{div}(m-1, e) + 1]$, ставится в соответствие линейная рекуррентная последовательность $\{\alpha_l(u)\}$ порядка $e \cdot u$ с характеристическим многочленом π^u , начальные элементы которой задаются по следующему правилу:

- $\alpha_l(u)$ полагаются равными 0 для $l \in [0 \dots e \cdot (u-1)]$;
- Среди $\alpha_l(u)$ с номерами $l \in [e \cdot (u-1) \dots e \cdot u]$ хотя бы один элемент назначается не равным нулю.

Оставшиеся элементы последовательности для $l \in \mathbb{Z}_{\geq e \cdot u}$ вычисляются по линейному рекуррентному соотношению:

$$\alpha_l(u) = \mu_{e \cdot u - 1}(u) \alpha_{l-1}(u) \oplus \mu_{e \cdot u - 2}(u) \alpha_{l-2}(u) \oplus \dots \oplus \mu_0(u) \alpha_{l-e \cdot u}(u),$$

где коэффициенты $\mu_k(u)$ определяются из выражения $\pi^u(\omega)$:

$$\pi^u(\omega) = \omega^{e \cdot u} \oplus \mu_{e \cdot u - 1}(u) \omega^{e \cdot u - 1} \oplus \mu_{e \cdot u - 2}(u) \omega^{e \cdot u - 2} \oplus \dots \oplus \mu_1(u) \omega \oplus \mu_0(u).$$

Элементами построенной последовательности $\{\alpha_l(u)\}$ затем заполняются, начиная с нулевого элемента, строки u -й секции по следующему принципу:

- нулевая строка в секции заполняется $\alpha_l(u)$ с номерами $l \in [0 \dots m]$,
- первая – $\alpha_l(u)$ с номерами $l \in [1 \dots m + 1]$,
- вторая – $\alpha_l(u)$ с номерами $l \in [2 \dots m + 2]$
- и так далее, вплоть до последней строки в секции.

Изобразим данный способ заполнения на рассмотренном ранее примере с $m = 8$ и $e = 3$, обозначив серым цветом нулевые элементы, оранжевым цветом возможно ненулевые начальные элементы последовательностей, а синим – элементы, вычисляемые по линейному рекуррентному соотношению.

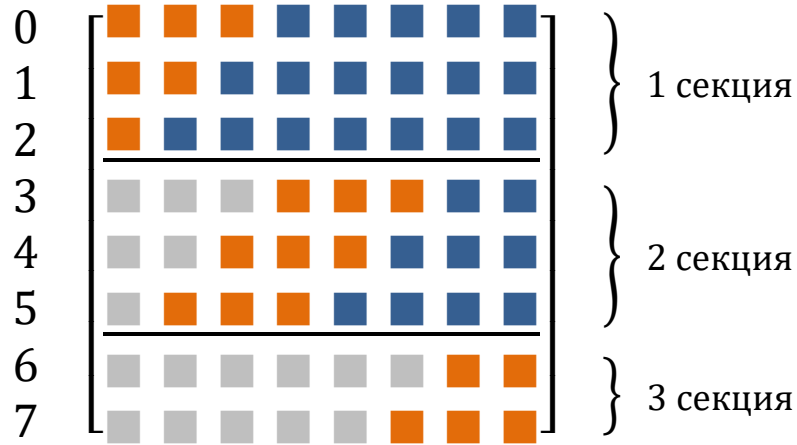


Рисунок 3.1.2. Пример разделения матрицы 8×8 на секции при $e = 3$. Здесь: серые клетки – нулевые начальные элементы последовательностей, оранжевые клетки – возможно ненулевые начальные элементы последовательностей, синие клетки – элементы, вычисляемые по рекуррентному соотношению.

На языке строгих математических формул соответствие между элементами γ_{jk} матрицы Γ и членами последовательностей $\{\alpha_l(u)\}$ устанавливается следующим образом:

$$\gamma_{jk} = \alpha_{r_j+k}(q_j + 1), \quad j, k \in [0 \dots m],$$

где $r_j := \text{mod}(j, e)$, $q_j := \text{div}(j, e)$.

Обобщая полученную формулу на произвольные $i \in [1 \dots s]$, получаем:

$$\gamma_{jk}[i] = \alpha_{r_j[i]+k}[i](q_j[i] + 1), \quad j, k \in [0 .. m),$$

где

- $\gamma_{jk}[i]$ – это элементы матрицы $\Gamma[i]$,
- $\alpha_l[i](u)$ – элементы последовательностей, строящихся для заполнения матриц $\Gamma[i]$,
- $e[i]$ – степени многочленов $\pi[i]$,
- $r_j[i]$ – остаток от деления j на $e[i]$,
- $q_j[i]$ – целая часть от деления j на $e[i]$.

На этом основная часть алгоритма заканчивается. Задав описанным способом генерирующие матрицы, мы имеем возможность рассчитать любую точку цифровой (t, m, s) -сети по формуле (2.1) (стр. 19). В совокупности всех этих действий и состоит алгоритм Нидеррайтера.

Обозначим ещё раз основную часть алгоритма, предполагая, что заданы приемлемые параметры t, m и s :

1. Выбираем s различных неприводимых многочленов $\pi[i]$ со степенями $e[i] := \deg \pi[i]$ такими, что $t = \sum_{i=1}^s (e[i] - 1)$;
2. Для $i \in [1 .. s]$
 - 2.1. $q_m[i] := \text{div}(m - 1, e[i]), r_m[i] := \text{mod}(m - 1, e[i])$;
 - 2.1.1. Для $u \in [1 .. q_m[i] + 1]$ находим $\mu(\omega) := \pi^u[i](\omega)$, а также
 - 2.1.2. Определяем начальные элементы последовательности $\{\alpha_l[i](u)\}$ с характеристическим многочленом $\mu(\omega)$ так, что
 - $\alpha_l[i](u) := 0$ для $l \in [0 .. e[i] \cdot (u - 1))$, а
 - среди $\alpha_l[i](u), l \in [e[i] \cdot (u - 1) .. e[i] \cdot u)$, хотя бы один равен 1;
 - 2.1.3. Если $u \neq q_m[i] + 1$, то $r_{hi} := e[i] - 1$, иначе: $r_{hi} := r_m[i]$;
 - 2.1.4. Рекуррентно вычисляем $\alpha_l[i](u)$ для $l \in [e[i] \cdot u .. m + r_{hi}]$;
 - 2.1.5. Для $k \in [0 .. m)$ и для $r \in [0 .. r_{hi}]$

Вычисляем $\gamma_{e \cdot u + r, k}[i] := \alpha_{r+k}[i](u)$.

3.2. Пример работы алгоритма

Рассмотрим работу классического алгоритма генерации на конкретном простом примере построения $(1,3,2)$ -сети с основанием 2. Иными словами, известны параметры:

$$t = 1 \quad m = 3 \quad s = 2 \quad b = 2.$$

По описанной в предыдущем разделе схеме, перед началом непосредственных расчётов необходимо выбрать для каждой из двух компонент пространства неприводимые над \mathbb{F}_2 многочлены $\pi[1]$ и $\pi[2]$ такие, что $\pi[1] \neq \pi[2]$ и $t = \sum_{i=1}^s (e[i] - 1)$, или, в нашем случае, такие, что $1 = \sum_{i=1}^2 (e[i] - 1) = e[1] + e[2] - 2$. В качестве искомым многочленов подойдут, скажем,

$$\pi[1] = \omega \oplus 1,$$

$$\pi[2] = \omega^2 \oplus \omega \oplus 1.$$

Действительно, $e[1] = 1$, $e[2] = 2$ и $e[1] + e[2] - 2 = 1 + 2 - 2 = 1$. Обратим внимание, что ограничения на сам вид неприводимых многочленов или порядок их назначения компонентам, вообще говоря, не установлены. С таким же успехом можно было вместо $\omega \oplus 1$ выбрать многочлен ω или, например, поменять местами $\pi[1]$ с $\pi[2]$ – единственное условие, которое должно выполняться, – это условие $t = \sum_{i=1}^s (e[i] - 1)$. Иными словами, любая пара многочленов $(\pi[1], \pi[2])$ среди, например, таких пар как $(\omega, \omega^2 \oplus \omega \oplus 1)$, $(\omega^2 \oplus \omega \oplus 1, \omega)$ или $(\omega^2 \oplus \omega \oplus 1, \omega + 1)$ точно так же подойдёт для генерации $(1,3,2)$ -сети, как и обозначенная выше пара $(\omega \oplus 1, \omega^2 \oplus \omega \oplus 1)$. Тем не менее, результаты, получаемые с помощью различных многочленов, всё-таки, будут отличаться. Подробнее об этом можно узнать, ознакомившись с понятием (t, m, e, s) -сетей в работах японского математика Сю Тезуки [12].

Определившись с многочленами, перейдём к построению матриц $\Gamma[1]$ и $\Gamma[2]$. Известно, что обе эти матрицы должны иметь размер $m \times m$, то есть

3×3 . Для удобства разделим сразу каждую из них на секции, как это было сделано в предыдущем разделе.



Рисунок 3.2.1. (а) $\Gamma[1]$, разбитая на секции при $e[1] = 1$;

(б) $\Gamma[2]$, разбитая на секции при $e[2] = 2$.

Обе матрицы Γ необходимо заполнить членами линейных рекуррентных последовательностей, порождаемых степенями соответствующих многочленов π . Изобразим схему расположения элементов последовательностей в матрицах аналогично тому, как это сделано на рисунке 3.1.2 (стр. 23).

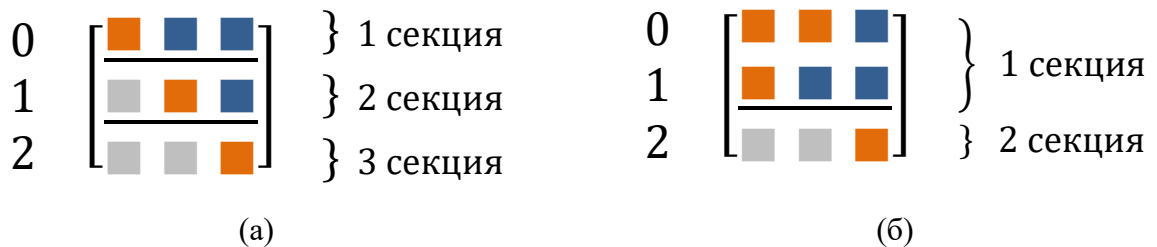


Рисунок 3.2.2. (а) $\Gamma[1]$, разбитая на секции при $e[1] = 1$; (б) $\Gamma[2]$, разбитая на секции при

$e[2] = 2$. Здесь: серые клетки – нулевые начальные элементы последовательности, оранжевые клетки – возможно ненулевые начальные элементы последовательностей, синие клетки – элементы, вычисляемые по рекуррентному соотношению.

Найдём члены линейной рекуррентной последовательности, необходимые для заполнения первой секции матрицы $\Gamma[1]$. Здесь $u = 1$ и, следовательно, многочлен $\pi^u[1] = \pi^1[1] = \pi[1] = \omega \oplus 1$ будет характеристическим для $\{a_l1\}$, порождая собой линейное рекуррентное соотношение

$$\alpha_l1 = \alpha_{l-1}1.$$

Определим единственное необходимое начальное значение α_01 по правилам, перечисленным в пункте 2.1.3 схемы алгоритма (стр. 24). Согласно им, при $l \in [0..e[1] \cdot (u - 1))$ все α_l1 должны быть равны нулю. Вместе с тем, $e[1] \cdot (u - 1) = 1 \cdot 0 = 0$, следовательно, $[0..e[1] \cdot (u - 1)) = [0..0) = \emptyset$ и эту часть правил можно пропустить. Далее, при $l \in [e[1] \cdot (u - 1)..e[1] \cdot u)$ хотя бы один α_l1 должен быть равным единице. Определим, что $e[1] \cdot u = 1 \cdot 1 = 1$ и, таким образом, $[e[1] \cdot (u - 1)..e[1] \cdot u) = [0..1) = \{0\}$. Данные обстоятельства не оставляют нам особого выбора: единственный подходящий под все условия вариант – $\alpha_01 = 1$. Воспользовавшись выведенным ранее отношением $\alpha_l1 = \alpha_{l-1}1$, получим необходимые элементы линейной рекуррентной последовательности для заполнения первой секции $\Gamma[1]$:

$$\alpha_01 = 1,$$

$$\alpha_11 = 1,$$

$$\alpha_21 = 1.$$

Таким образом, матрица $\Gamma[1]$ приобретает вид, показанный ниже.

$$\begin{array}{l} 0 \\ 1 \\ 2 \end{array} \left[\begin{array}{ccc} \textcolor{brown}{1} & \textcolor{blue}{1} & \textcolor{blue}{1} \\ \textcolor{gray}{\square} & \textcolor{brown}{\square} & \textcolor{blue}{\square} \\ \textcolor{gray}{\square} & \textcolor{gray}{\square} & \textcolor{brown}{\square} \end{array} \right] \begin{array}{l} \} 1 \text{ секция} \\ \} 2 \text{ секция} \\ \} 3 \text{ секция} \end{array}$$

Рисунок 3.2.3. Матрица $\Gamma[1]$ с заполненной первой секцией.

Характеристическими многочленами для второй и третьей секции будут, соответственно, $\pi^2[1] = (\omega \oplus 1)^2 = \omega^2 \oplus 1$ и, аналогичным образом, $\pi^3[1] = (\omega \oplus 1)^3 = \omega^3 \oplus \omega^2 \oplus \omega \oplus 1$, которые определяют рекуррентные отношения, соответственно,

$$\alpha_l[1](2) = \alpha_{l-2}[1](2),$$

$$\alpha_l[1](3) = \alpha_{l-1}[1](3) \oplus \alpha_{l-2}[1](3) \oplus \alpha_{l-3}[1](3).$$

Задавая начальные значения по тем же принципам, получаем требуемые элементы последовательностей для заполнения второй и третьей секций матрицы:

$$\begin{aligned}\alpha_0[1](2) &= 0, & \alpha_0[1](3) &= 0, \\ \alpha_1[1](2) &= 1, & \alpha_1[1](3) &= 0, \\ \alpha_2[1](2) &= 0, & \alpha_2[1](3) &= 1.\end{aligned}$$

Проиллюстрируем полностью заполненную матрицу $\Gamma[1]$.

$$\begin{array}{lcl} 0 & \left[\begin{array}{ccc} \color{blue}{1} & \color{red}{1} & \color{blue}{1} \end{array} \right] & \} \text{ 1 секция} \\ 1 & \left[\begin{array}{ccc} \color{gray}{0} & \color{blue}{1} & \color{gray}{0} \end{array} \right] & \} \text{ 2 секция} \\ 2 & \left[\begin{array}{ccc} \color{gray}{0} & \color{gray}{0} & \color{blue}{1} \end{array} \right] & \} \text{ 3 секция} \end{array}$$

Рисунок 3.2.4. Заполненная матрица $\Gamma[1]$.

Приступим к построению матрицы $\Gamma[2]$, состоящей из двух секций. Рассмотрим первую из них с характеристическим многочленом $\pi^1[2] = \pi[2] = \omega^2 \oplus \omega \oplus 1$. В очередной раз подберём начальные значения для линейной рекуррентной последовательности. Для $l \in [0..e[2] \cdot (u - 1))$ все $\alpha_l[2](1)$ должны равняться нулю. Нетрудно убедиться, что $[0..e[2] \cdot (u - 1))$ здесь снова будет равняться пустому множеству. Далее, для $l \in [e[2] \cdot (u - 1)..e[2] \cdot u)$, или, если конкретно, для $l \in [0..2)$ хотя бы один $\alpha_l[2](1)$ должен быть единицей. Как видно, в данном случае появляется бóльшая свобода действий: можно назначить единицей либо $\alpha_0[2](1)$, либо $\alpha_1[2](1)$, либо оба этих элемента сразу. Мы остановимся на варианте, когда $\alpha_0[2](1) = \alpha_1[2](1) = 1$. Выводя из характеристического многочлена общий вид рекуррентного отношения

$$\alpha_l[2](1) = \alpha_{l-1}[2](1) \oplus \alpha_{l-2}[2](1),$$

получаем список элементов линейной рекуррентной последовательности $\{\alpha_l[2](1)\}$, необходимых для заполнения первой секции матрицы $\Gamma[2]$:

$$\alpha_0[2](1) = 1,$$

$$\alpha_1[2](1) = 1,$$

$$\alpha_2[2](1) = 0,$$

$$\alpha_3[2](1) = 1.$$

Заполним ими матрицу.

$$\begin{array}{c} 0 \\ 1 \\ 2 \end{array} \left[\begin{array}{ccc} \color{red}{1} & \color{red}{1} & \color{blue}{0} \\ \color{red}{1} & \color{blue}{0} & \color{blue}{1} \\ \color{gray}{\square} & \color{gray}{\square} & \color{red}{\square} \end{array} \right] \left. \begin{array}{l} \\ \\ \end{array} \right\} \begin{array}{l} 1 \text{ секция} \\ \\ 2 \text{ секция} \end{array}$$

Рисунок 3.2.5. Матрица $\Gamma[2]$ с заполненной первой секцией.

Проделав ещё раз аналогичные действия для второй секции матрицы $\Gamma[2]$, получаем её окончательный вид.

$$\begin{array}{c} 0 \\ 1 \\ 2 \end{array} \left[\begin{array}{ccc} \color{red}{1} & \color{red}{1} & \color{blue}{0} \\ \color{red}{1} & \color{blue}{0} & \color{blue}{1} \\ \color{gray}{0} & \color{gray}{0} & \color{red}{1} \end{array} \right] \left. \begin{array}{l} \\ \\ \end{array} \right\} \begin{array}{l} 1 \text{ секция} \\ \\ 2 \text{ секция} \end{array}$$

Рисунок 3.2.6. Заполненная матрица $\Gamma[2]$.

Таким образом, выражения для обеих матриц Γ получены, можно приступать к непосредственному вычислению координат точек конструируемой $(1,3,2)$ -сети. Продемонстрируем данный процесс, рассчитав явно координаты, например, точки x_5 .

Для точки x_5 значение $n = 5$ и первая координата, в соответствии с алгоритмом, будет рассчитана по формуле (2.1) (стр. 19):

$$\begin{aligned} x_5[1] &= \text{rnum}_b \left(\Gamma[i] \cdot \text{vec}_{b,m}(n) \right) \cdot b^{-m} = \\ &= \text{rnum}_2 \left(\Gamma[1] \cdot \text{vec}_{2,3}(5) \right) \cdot 2^{-3} = \\ &= \text{rnum}_2 \left(\begin{pmatrix} 1 & 1 & 1 \\ 0 & 1 & 0 \\ 0 & 0 & 1 \end{pmatrix} \cdot \begin{pmatrix} 1 \\ 0 \\ 1 \end{pmatrix} \right) \cdot 2^{-3} = \end{aligned}$$

$$= \text{rnum}_2 \left(\begin{bmatrix} 0 \\ 0 \\ 1 \end{bmatrix} \right) \cdot 2^{-3} = 4 \cdot 2^{-3} = 0.125.$$

Аналогично, вторая координата:

$$\begin{aligned} x_5[2] &= \text{rnum}_b \left(\Gamma[i] \cdot \mathbf{vec}_{b,m}(n) \right) \cdot b^{-m} = \\ &= \text{rnum}_2 \left(\Gamma[2] \cdot \mathbf{vec}_{2,3}(5) \right) \cdot 2^{-3} = \\ &= \text{rnum}_2 \left(\begin{bmatrix} 1 & 1 & 0 \\ 1 & 0 & 1 \\ 0 & 0 & 1 \end{bmatrix} \cdot \begin{bmatrix} 1 \\ 0 \\ 1 \end{bmatrix} \right) \cdot 2^{-3} = \\ &= \text{rnum}_2 \left(\begin{bmatrix} 1 \\ 0 \\ 1 \end{bmatrix} \right) \cdot 2^{-3} = 5 \cdot 2^{-3} = 0.625. \end{aligned}$$

Получаем, что $x_5 = [0.125, 0.625]^T$. Прделав эту же процедуру для всех $n \in [0..b^m) = [0..2^3) = [0..8)$, в итоге получаем координаты всех восьми точек, образующих (1,3,2)-сеть с основанием 2, полный перечень которых представлен в таблице 3.2.1.

Таблица 3.2.1. Сгенерированная (1,3,2)-сеть

n	$x_n[1]$	$x_n[2]$
0	0.0	0.0
1	0.5	0.75
2	0.75	0.5
3	0.25	0.25
4	0.625	0.375
5	0.125	0.625
6	0.375	0.875
7	0.875	0.125

Для большей наглядности продемонстрируем полученные результаты графически.

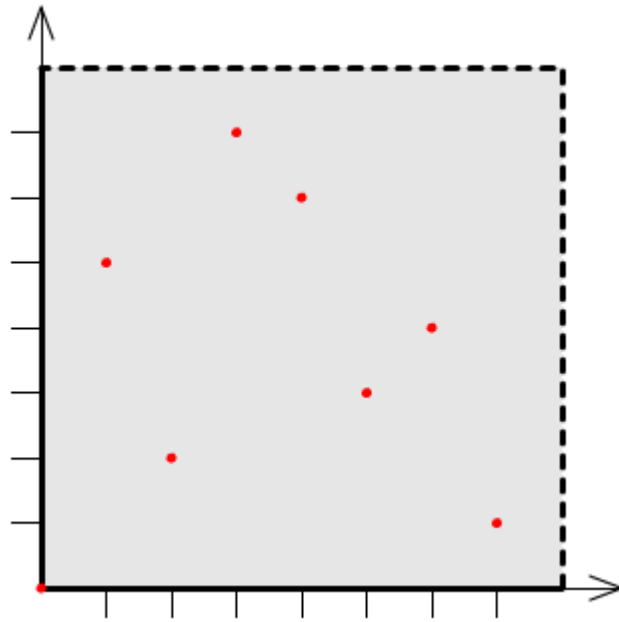


Рисунок 3.2.7. Сгенерированная $(1,3,2)$ -сеть внутри единичного двумерного куба J^2 .

При желании можно провести проверку выполнимости определения, подобную той, что была проделана в главе 1, и убедиться в том, что полученное множество действительно удовлетворяет всем предъявляемым требованиям.

3.3. Оптимизация алгоритма генерации

Только что на простом примере было показано, как алгоритм, изложенный в разделе 3.1, позволяет строить (t, m, s) -сети с основанием 2. Попробуем теперь явно оценить вычислительную сложность этого алгоритма и модифицировать его таким образом, чтобы её уменьшить.

Для начала оговорим, что именно понимается здесь под вычислительной сложностью. Условно схему генерации цифровых (t, m, s) -сетей можно разделить на два последовательных этапа: этап нахождения генерирующих матриц Γ и этап непосредственного расчёта точек. Учитывая то, что нахождение матриц Γ достаточно провести один раз, можно назвать это своего рода инициализирующим этапом выполнения алгоритма и принять, что время, затрачиваемое на инициализацию, не столь важно — важно только то, чтобы каждая очередная точка генерировалась с максимальной скоростью. Таким образом, именно затраты на выполнение второго этапа алгоритма принимаются далее за вычислительную сложность, которая, очевидно, пропорциональна сложности вычисления одной координаты одной точки.

Нахождение координаты точки в схеме генерации цифровых (t, m, s) -сетей с основанием 2 производится по формуле (2.1) (стр. 19), в которой b принимается равной двум. Рассчитаем количество операций, необходимых для проведения расчётов по этой формуле. Для наглядности продублируем ещё раз исходный её вид с $b = 2$:

$$x_n[i] = \text{rnum}_2 \left(\Gamma[i] \cdot \text{vec}_{2,m}(n) \right) \cdot 2^{-m}.$$

Выразим эквивалентным образом аргумент функции реверсивной нумеризации, воспользовавшись базовым свойством матричного умножения:

$$\Gamma[i] \cdot \text{vec}_{2,m}(n) = \Gamma[i] \cdot \begin{bmatrix} (n)_{2,0} \\ (n)_{2,1} \\ \vdots \\ (n)_{2,m-1} \end{bmatrix} = \bigoplus_{k=0}^{m-1} (n)_{2,k} \cdot \Gamma^k[i].$$

Подставим получившееся выражение в формулу для $x_n[i]$:

$$\begin{aligned}
 x_n[i] &= \text{rnum}_2 \left(\Gamma[i] \cdot \mathbf{vec}_{2,m}(n) \right) \cdot 2^{-m} = \\
 &= \text{rnum}_2 \left(\bigoplus_{k=0}^{m-1} (n)_{2,k} \cdot \Gamma^k[i] \right) \cdot 2^{-m} = \\
 &= \bigoplus_{k=0}^{m-1} \left((n)_{2,k} \cdot \text{rnum}_2(\Gamma^k[i]) \right) \cdot 2^{-m}.
 \end{aligned}$$

Последний переход в этом равенстве может показаться неочевидным, однако он довольно просто объясняется определением операции \oplus исключающей дизъюнкции (см. «Обозначения»). Согласно нему, чтобы $c = a \oplus b$, требуется выполнимость равенства $(c)_{2,k} = (a)_{2,k} \oplus (b)_{2,k}$ для всех двоичных разрядов этих чисел. Помимо этого, отметим то, что существует взаимно-однозначное соответствие между разрядами чисел $\text{rnum}_2(v) \in [0..2^m)$ в двоичной системе счисления и векторами $v \in [0..2)^m$. Следовательно, если для двоичных векторов выполняется равенство $w = u \oplus v$, то будет выполняться и равенство $\text{rnum}_2(w) = \text{rnum}_2(u) \oplus \text{rnum}_2(v)$. Полагая в нём вектор

$$w = \bigoplus_{k=0}^{m-1} (n)_{2,k} \cdot \Gamma^k[i],$$

а векторы u и v , скажем,

$$u = (n)_{2,0} \cdot \Gamma^0[i],$$

$$v = \bigoplus_{k=1}^{m-1} (n)_{2,k} \cdot \Gamma^k[i]$$

и продолжая такое разложение по индукции, получаем равенство между второй и третьей строками выражения выше.

Ввиду особой значимости чисел $\text{rnum}_2(\Gamma^k[i])$, для них существует отдельное определение.

ОПРЕДЕЛЕНИЕ 3.3.1

Пусть $\Gamma[i]$ – генерирующие матрицы цифровой (t, m, s) -сети. Тогда целые числа $\text{num}_2(\Gamma^k[i])$, называются *направляющими числами* соответствующей цифровой (t, m, s) -сети и обозначаются как $g_k[i]$.

Используя введённое определение, получим более удобную для практического применения формулу:

$$x_n[i] = \bigoplus_{k=0}^{m-1} (g_k[i] \cdot (n)_{2,k}) \cdot 2^{-m}, \quad (3.3.1)$$

из которой видно, что программное вычисление любой координаты $x_n[i]$ произвольной точки цифровой (t, m, s) -сети по формуле (2.1) (стр. 19) подразумевает применение

- одной операции деления чисел с плавающей точкой,
- m операций выделения двоичных разрядов числа n ,
- $(m - 1)$ операции « \oplus » и
- m операций « \cdot ».

Имеется возможность существенно повысить вычислительную эффективность генерации при поочерёдном расчёте точек с последовательными номерами [6]. Для того, чтобы объяснить такое улучшение, введём понятие кода Грея.

ОПРЕДЕЛЕНИЕ 2.3.2

Кодом Грея числа $n \in \mathbb{N}_0$ называется целое неотрицательное число

$$G(n) = n \oplus \left\lfloor \frac{n}{2} \right\rfloor.$$

Код Грея обладает следующими замечательными свойствами:

1. $G(n)$ является биекцией на \mathbb{N}_0 ;
2. Коды $G(n)$ и $G(n + 1)$ отличаются только в одном двоичном разряде.

Иначе говоря,

$$\forall n \in \mathbb{N}_0 \exists! k_0 \mid \begin{cases} (G(n+1))_{2,k} = (G(n))_{2,k} & k \neq k_0 \\ (G(n+1))_{2,k} = (G(n))_{2,k} \oplus 1 & k = k_0 \end{cases}.$$

Аналитически номер изменяющегося разряда k_0 выражается с помощью формулы $k_0 = \log_2(G(n) \oplus G(n+1))$. Также его можно выразить, как минимальный номер нулевого разряда в двоичном представлении n , иными словами $k_0 = \min\{k \mid (n)_{2,k} = 0\}$;

3. Для любого $m \in \mathbb{N}_0$, кодирующая функция G взаимно-однозначно отображает целочисленный отрезок вида $[0 \dots 2^m]$ в себя же:

$$G([0 \dots 2^m]) = [0 \dots 2^m];$$

4. Для любых $m \in \mathbb{N}_0$, $k_1 \in \mathbb{N}_0$ существует единственное $k_2 \in \mathbb{N}_0$ такое, что

$$G([k_1 2^m \dots (k_1 + 1) 2^m]) = [k_2 2^m \dots (k_2 + 1) 2^m].$$

Иначе говоря, функция G взаимно-однозначно отображает множество всех подмножеств \mathbb{N}_0 вида $[k 2^m \dots (k + 1) 2^m]$, где $k, m \in \mathbb{N}_0$, в себя же.

Исходя из последних двух свойств, можно сделать вывод о том, что если $\{x_n\}_{n \in [0..2^m]}$ является (t, m, s) -сетью, то $\{x_{G(n)}\}_{n \in [0..2^m]}$ будет той же самой (t, m, s) -сетью с точностью до индексирования точек [3]. Этого, казалось бы, незначительного различия между $\{x_n\}_{n \in [0..2^m]}$ и $\{x_{G(n)}\}_{n \in [0..2^m]}$ становится достаточно для того, чтобы последовательный расчёт элементов цифровых (t, m, s) -сетей в порядке, задаваемом кодом Грея, оказался значительно проще и эффективнее. Продемонстрируем это далее.

Для удобства введём новое обозначение $y_n[i] := x_n[i] \cdot 2^m$. Точки y_n , де-факто, получаются выделением из формулы (3.3.1) (стр. 34) целочисленных расчётов:

$$\begin{aligned} y_n[i] &= x_n[i] \cdot 2^m = \\ &= \bigoplus_{k=0}^{m-1} (g_k[i] \cdot (n)_{2,k}) \cdot 2^{-m} \cdot 2^m = \end{aligned}$$

$$= \bigoplus_{k=0}^{m-1} g_k[i] \cdot (n)_{2,k}.$$

Подставим в полученную формулу вместо индекса точки n его код Грея:

$$y_{G(n)}[i] = \bigoplus_{k=0}^{m-1} g_k[i] \cdot (G(n))_{2,k}. \quad (3.3.2)$$

Координаты точки с номером $G(n+1)$, где $n < 2^m - 1$, выражаются как

$$y_{G(n+1)}[i] = \bigoplus_{k=0}^{m-1} g_k[i] \cdot (G(n+1))_{2,k}.$$

Как известно, коды Грея чисел n и $n+1$ отличаются в единственном разряде.

Это позволяет нам утверждать, что $\exists! k_0 \in [0 \dots \lfloor \log_2 G(n+1) \rfloor]$ такое, что

$$y_{G(n+1)}[i] = \left(\bigoplus_{k=0}^{m-1} g_k[i] \cdot (G(n))_{2,k} \right) \oplus g_{k_0}[i],$$

или же

$$y_{G(n+1)}[i] = y_{G(n)}[i] \oplus g_{k_0}[i].$$

Таким образом, зная номер $n < 2^m - 1$ и направляющие числа $g_k[i]$, возможно из любой координаты $y_{G(n)}[i]$ получить соответствующую координату $y_{G(n+1)}[i]$ за одну операцию \oplus и за одну операцию отыскания соответствующего k_0 , подразумевающую в наихудшем случае m операций выделения двоичных разрядов и m сравнений выделенных разрядов с нулём.

Как видно из приведённых рассуждений, рассчитывать координаты точек цифровой (t, m, s) -сети $\{x_{G(n)}\}_{n \in [0..2^m)}$ оказывается даже в наихудшем случае эффективнее, чем координаты точек сети $\{x_n\}_{n \in [0..2^m)}$, а ввиду того, что обе сети определяют одно и то же мультимножество точек, конечному пользователю зачастую не важен их порядок. Таким образом, в большинстве случаев оптимально на запрос генерации точки с номером n вычислять точку $x_{G(n)}$, а процесс вычисления производить по следующей схеме:

Пусть имеются заданные генерирующие матрицы $\Gamma[i]$ и направляющие числа $g_k[i]$ для $i \in [1..s]$, и пусть требуется сгенерировать точки с номерами $[n_0 .. n_0 + h)$, где $n_0 \in \mathbb{N}_0$ и $h \in \mathbb{N}$.

1. По формуле (3.3.2) (стр. 36) вычисляем целые числа $y_{prev}[i] := y_{G(n_0)}[i]$ для $i \in [1..s]$;
2. Если $h \neq 1$, то для $l \in [1..h)$:
 - 2.1. Находим номер разряда k_0 , отличающегося в бинарном представлении $G(n_0 + l - 1)$ от $G(n_0 + l)$;
 - 2.2. Для $i \in [1..s]$:
 - 2.2.1. Вычисляем $y_{next}[i] := y_{prev}[i] \oplus g_{k_0}[i]$;
 - 2.2.2. Рассчитываем координаты $x_{G(n_0+l-1)}[i] := y_{prev}[i] \cdot 2^{-m}$;
 - 2.2.3. Присваиваем $y_{prev}[i] := y_{next}[i]$.
3. Для $i \in [1..s]$:
 - 3.1. Рассчитываем координаты $x_{G(n_0+h-1)}[i] := y_{prev}[i] \cdot 2^{-m}$.

Список литературы

1. van der Corput J.G. Verteilungsfunktionen (Erste Mitteilung) // Proceedings of the Koninklijke Akademie van Wetenschappen te Amsterdam. — 1935. — Vol. 38. — P. 813-821.
2. Sobol I.M. Distribution of points in a cube and approximate evaluation of integrals // U.S.S.R Comput. Maths. Math. Phys. — 1967. — Vol. 7. — P. 784-802.
3. Антонов И.А., Салеев В.М. Экономичный способ вычисления ЛПТ-последовательностей // Ж. вычисл. матем. и матем. физ. — 1979. — Том 19, №1. — С. 243-245.
4. Niederreiter H. Point sets and sequences with small discrepancy // Monatshefte für Mathematik. — 1987. — Vol. 104, No. 4. — P. 273-337.
5. Niederreiter H. Low-Discrepancy and Low-Dispersion Sequences // Journal of Number Theory. — 1988. — Vol. 30. — P. 51-70.
6. Bratley P., Fox B.L., Niederreiter H. Implementations and Tests of Low-Discrepancy Sequences ACM Transactions on Modeling and Computer Simulation, Vol. 2, No. 3, July 1992, Pages 195-213
7. Faure H. Good permutations for extreme discrepancy // Journal of Number Theory. — 1992. — Vol. 42. — P. 45-56.
8. Niederreiter H. Random Number Generation and Quasi-Monte Carlo Methods. — Philadelphia: SIAM, 1992. — 241 p.
9. Cui J., Freeden W. Equidistribution on the sphere // SIAM Journal on Scientific Computing. — 1997. — Vol. 18, No. 2. — P. 595-609.
10. Pillards T., Cools R. A theoretical view on transforming low-discrepancy sequences from a cube to a simplex // Monte Carlo Methods and Applications. — 2004. — Vol. 10, No. 3-4. — P. 511-529.
11. Dick J., Pillichshammer F. Digital Nets and Sequences: Discrepancy Theory and Quasi-Monte Carlo Integration. — NY: Cambridge University Press, 2010. — 618 p.

12. Tezuka S. On the discrepancy of generalized Niederreiter sequences // Journal of Complexity. — 2013. — Vol. 29. — P. 240-247.
13. Decorrelation of low discrepancy sequences for progressive rendering // US Patent #10074212. 2016 / Waechter C., Binder N.